

APS

Implementação Computacionalmente Eficiente da DFT

Welliton Jhonathan Leal Babinski

Universidade Tecnológica Federal do Paraná - Campus Pato Branco
Programa de Pós-Graduação em Engenharia Elétrica
Processamento de Sinais
Prof. Dr. Rafael Cardoso

27 de Agosto de 2020

Resumo

Este trabalho se trata de uma pesquisa sobre a técnica para a implementação computacional eficiente da DFT baseada na decimação no tempo, bem como suas formalizações matemáticas, complexidade dos algoritmos e suas implementações em código via *software* Matlab.

1 Introdução

A transformada de Fourier discreta (DFT) desempenha um papel importante na análise, projeto e implementação de algoritmos e sistemas de processamento de sinal em tempo discreto, porque as propriedades básicas da transformada de Fourier de tempo discreto e transformada de Fourier discreta tornam particularmente conveniente analisar e projetar sistemas no domínio de Fourier. É igualmente importante que existam algoritmos eficientes para calcular explicitamente o DFT. Como resultado, o DFT é um componente importante em muitas aplicações práticas de sistemas de tempo discreto.(OPPENHEIM; SCHAFER, 2010) Uma das razões pelas quais a análise de Fourier é de grande importância no processamento digital de sinais é a existência de algoritmos eficientes para calcular a transformada discreta de Fourier. (OPPENHEIM; SCHAFER, 1975)

Em termos de multiplicações e adições, a classe de algoritmos FFT pode ser ordens de magnitude mais eficientes do que algoritmos de compilação. A eficiência dos algoritmos FFT é tão alta, de fato, que em muitos casos o procedimento mais eficiente para implementar uma convolução é calcular a transformada das sequências a serem convolidas, multiplicar suas transformadas e, em seguida, calcular a transformada inversa do produto das transformadas. (OPPENHEIM; SCHAFER, 2010)

As transformadas de menor comprimento podem ser avaliadas por métodos diretos ou podem ser posteriormente decompostas em transformações ainda menores. A maneira como esse princípio é implementado leva a uma variedade de algoritmos diferentes, todos com

melhorias comparáveis na velocidade computacional. (OPPENHEIM; SCHAFER, 2010)

Existem duas classes básicas de algoritmos FFT. A primeira classe, chamada decimação no tempo, seu nome deriva do fato de que, no processo de organizar a computação em transformações menores, a sequência $x[n]$ é decomposta em sucessivas subsequências menores. Na segunda classe geral de algoritmo, a sequência de coeficientes de transformada de Fourier discretos $X[k]$ é decomposta em subsequências menores, daí seu nome, decimação na frequência.(OPPENHEIM; SCHAFER, 2010)

Este trabalho será focado particularmente apenas no desenvolvimento e compreensão da classe de algoritmos de decimação no tempo, também chamada pela abreviação DIT, em especial o algoritmo FFT Radix-2.

2 Algoritmo FFT de Decimação no Tempo

2.1 A Técnica

Para alcançar o aumento dramático na eficiência a que aludimos, é necessário decompor o cálculo DFT em cálculos DFT sucessivamente menores. Neste processo, exploramos a simetria e a periodicidade do exponencial complexo $W_N^{kn} = e^{-j(2\pi/N)kn}$. Algoritmos nos quais a decomposição é baseada na decomposição da sequência $x(n)$, em subsequências sucessivamente menores, são chamados de algoritmos de decimação no tempo. O princípio da decimação no tempo é mais convenientemente ilustrado considerando o caso especial de N uma potência inteira de 2. (OPPENHEIM; SCHAFER, 1975)

Geralmente para descrever o tamanho das DFTs se utiliza da notação r , para o cálculo da DFT de ponto- N tenha um padrão regular. O Número r é chamado de "raiz" do algoritmo FFT, ou "Radix" no inglês. Nesta etapa vamos apresentar o algoritmo conhecido pelo nome de "Radix-2", o qual é de longe o mais amplamente utilizado.

Suponha que temos uma sequência $x(n)$ cujo comprimento N é uma potência de dois, isto é, $N = 2^l$. Agora, vamos expressar a relação para a DFT dada na equação

$$X(k) = \sum_{n=0}^{N-1} x(n)W_N^{kn} \quad (1)$$

quebrando o somatório em duas partes, uma com os elementos $x(n)$ de índice par e outra com os elementos $x(n)$ de índice ímpar, obtendo

$$= \sum_{n=0}^{N/2-1} x(2n)W_N^{2nk} + \sum_{n=0}^{N/2-1} x(2n+1)W_N^{(2n+1)k} \quad (2)$$

$$= \sum_{n=0}^{N/2-1} x(2n)W_N^{2nk} + W_N^k \sum_{n=0}^{N/2-1} x(2n+1)W_N^{2nk} \quad (3)$$

Se notarmos que para N par temos

$$W_N^{2nk} = e^{-j(2\pi/N)2nk} = e^{-j(2\pi/(N/2))nk} = W_{N/2}^{nk} \quad (4)$$

então a equação 3 se torna

$$X(k) = \sum_{n=0}^{N/2-1} x(2n)W_{N/2}^{nk} + W_N^k \sum_{n=0}^{N/2-1} x(2n+1)W_{N/2}^{nk} \quad (5)$$

e podemos ver que cada somatório pode representar uma DFT distinta de tamanho $N/2$. Portanto, uma DFT de tamanho N pode ser calculada através de duas DFTs de tamanho $N/2$, além das multiplicações por W_N^k . Note que cada nova DFT tem somente $N/2$ coeficientes e para o cálculo desses coeficientes precisamos, agora, de apenas $(N/2)^2$ multiplicações complexas. Adicionalmente, já que temos um coeficiente distinto W_N^k para cada k entre 0 e $N-1$, precisamos efetuar N multiplicações por W_N^k . (DINIZ *et al.*, 2014) Portanto, o cálculo da DFT de acordo com a equação 5 requer

$$2\left(\frac{N}{2}\right)^2 + N = \frac{N^2}{2} + N \quad (6)$$

multiplicações complexas. Como $(N + N^2/2)$ é menor que N^2 para $N > 2$, a equação 5 já resulta num decréscimo de complexidade quando comparada ao cálculo usual da DFT. Devemos também comparar o número de adições complexas das duas formas de cálculo. O cálculo usual de uma DFT de comprimento N precisa de um total de $N(N-1) = N^2 - N$ adições. Na equação 5, precisamos calcular duas DFTs de comprimento $N/2$. Em seguida, após a multiplicação por W_N^k , devem-se efetuar as N adições das duas DFTs parciais, uma para cada k entre 0 e $N-1$. (DINIZ *et al.*, 2014) Portanto, o número total de adições complexas na equação 5 é

$$2\left[\left(\frac{N}{2}\right)^2 - \frac{N}{2}\right] + N = \frac{N^2}{2} \quad (7)$$

o que também corresponde a uma redução da complexidade. (DINIZ *et al.*, 2014) Do que foi tratado até agora, podemos observar com clareza que o procedimento mostrado na equação 5 é aplicado recursivamente a cada uma das DFTs resultantes até que todas

sejam de comprimento 2. O procedimento completo é formalizado em um algoritmo escrevendo-se a equação 5 como

$$X(k) = X_e(k) + W_N^k X_o(k) \quad (8)$$

onde $X_e(k)$ e $X_o(k)$ são, respectivamente as DFTs de comprimento $N/2$ das amostras com índices pares e ímpares de $x(n)$, isto é,

$$X_e(k) = \sum_{n=0}^{N/2-1} x(2n)W_{N/2}^{nk} = \sum_{n=0}^{N/2-1} x_e(n)W_{N/2}^{nk} \quad (9)$$

e

$$X_o(k) = \sum_{n=0}^{N/2-1} x(2n+1)W_{N/2}^{nk} = \sum_{n=0}^{N/2-1} x_o(n)W_{N/2}^{nk} \quad (10)$$

Um diagrama para o algoritmo completo da FFT descrito anteriormente é obtido pela repetição da célula básica da Figura 1 para $L = N, N/2, \dots, 2$ e para $k = 0, 1, \dots, (L/2 - 1)$. (DINIZ *et al.*, 2014)

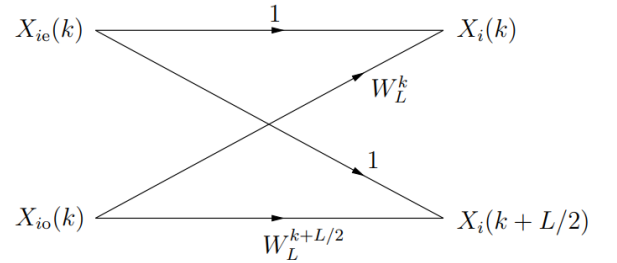


Figura 1: Célula básica do algoritmo de FFT com decimação no tempo

Fonte: (DINIZ *et al.*, 2014)

2.2 A Complexidade

A aplicação recursiva do procedimento aqui descrito pode conduzir o cálculo de uma DFT de comprimento $N = 2^l$, ao longo de l etapas, até o cálculo de 2^l DFTs de comprimento 1, porque cada etapa converte uma DFT de comprimento L em duas DFTs de comprimento $L/2$, mais uma multiplicação complexa por W_L^k e uma soma complexa. Portanto, supondo que $M(N)$ e $A(N)$ são, respectivamente, os números de multiplicações e adições complexas necessárias para se calcular uma DFT de comprimento N , valem as seguintes relações: (DINIZ *et al.*, 2014)

$$M(N) = 2M\left(\frac{N}{2}\right) + N \quad (11)$$

$$A(N) = 2A\left(\frac{N}{2}\right) + N \quad (12)$$

A fim de calcularmos os valores de $M(N)$ e $A(N)$, temos de resolver essas equações recursivas. As condições iniciais são $M(1) = 1$ e $A(1) = 0$, já que uma DFT de comprimento 1 não requer somas, e envolve uma multiplicação por W_1^0 . Podemos calcular o número de multiplicações empregando a mudança de variáveis $N = 2^l$ e $T(l) = M(N)/N$. Com isso, a equação 11 se torna

$$T(l) = T(l-1) + 1$$

Como $T(0) = M(1)$, então $T(l) = l + 1$. Portanto,

$$\frac{M(N)}{N} = 1 + \log_2 N,$$

e assim logo concluímos que o número verdadeiro de multiplicações é

$$M(N) = N + N \log_2 N.$$

Para calcular o número de somas, podemos usar a mesma mudança de variáveis, isto é, fazer $N = 2^l$ e $T(l) = A(N)/N$. Com isso, a equação 12 se torna

$$T(l) = T(l-1) + 1,$$

mas desta vez $T(0) = A(1) = 0$, e então $T(l) = l$. Portanto,

$$\frac{A(N)}{N} = \log_2 N,$$

e assim logo concluímos que o número de somas é

$$A(N) = N \log_2 N.$$

Em síntese, a FFT pode ser calculada usando-se $N \log_2 N$ multiplicações e adições complexas, o que significa uma economia da ordem de $\frac{N}{\log_2 N}$, quando comparada com a implementação direta. (DINIZ *et al.*, 2014)

2.3 O Algoritmo

Listings

1 Algoritmo de Decimação no Tempo FFT Radix-2

```

1 % Funcao FFT Radix 2 Decimacao no Tempo (DIT)
2 % Processamento de Sinais
3 % Welliton Jhonathan Leal Babinski
4
5
6 %Sinal discreto e nao periodico de entrada
7 %x = [2; 4; 5 ;6 ;9 ;8 ;7; 2 ;12 ;13; 14 ;2;
8     12; 7; 2; 14];
9
10 function [y] = fftR2dit(x)
11
12 tic
13 % iniciando a contagem do tempo
14
15 p = nextpow2(length(x));
16 %checando o tamanho do vetor de entrada
17 x = [x zeros(1,(2^p)-length(x))];
18 %complementando o vetor com zeros se
19 %necessario
20 N = length(x);
21 %calculando o tamanho do array
22 R = log2(N);
23 %calculando o n mero de estagios de conversao
24 Metade = 1;
25 %Setando o valor de "Metade" inicial
26 x = bitrevorder(x);
27 %colocando os samples em ordem de bit-reversa
28
29 for stage = 1:R
30     %Estagios da transformada
31     for index = 0:(2^stage):(N-1)
32         %serie de celulas (butterflies) pra cada
33         estagio

```

```

31         for n = 0:(Metade-1)
32             %criando a celula (butterfly) e salvando os
33             %resultados
34             pos = n + index + 1;
35             %indexando a amostra
36             pow = (2^(R-stage))*n;
37             %parte da potencia do multiplicador complexo
38             WN = exp((-1i)*(2*pi)*pow/N);
39             %Multiplicador complexo
40             a = x(pos) + x(pos+Metade).*WN;
41             %criando a primeira parte da celula
42             b = x(pos) - x(pos+Metade).*WN;
43             %criando a segunda parte da celula
44             x(pos) = a;
45             %salvando o calculo da primeira parte
46             x(pos + Metade) = b;
47             %salvando o calculo da segunda parte
48         end
49     end
50     Metade = 2 * Metade;
51 %calculando o proximo valor "Metade"
52 end
53 y = x;
54 toc
55 %finalizando a contagem do tempo
56
57 L = 0:length(x)-1;
58 figure
59 %plotando os modulos das amostras
60 subplot(2,1,1)
61 stem(L,abs(y))
62 title("Modulo com Algoritmo de Decima o no
63     Tempo FFT Radix-2");
64 xlabel('k');
65
66 %plotando as fases das amostras
67 subplot(2,1,2)
68 stem(L,angle(y))
69 title("Fase com Algoritmo de Decima o no
70     Tempo FFT Radix-2");
71 xlabel('k');
72 end

```

3 Listing 1: Algoritmo de Decimação no Tempo FFT Radix-2

3 Resultados

A partir de um sinal de entrada discreto e não periódico foi possível verificarmos a eficiência de ambos algoritmos, o Radix-2 implementado e o fft nativo do Matlab, o sinal de entrada segue abaixo:

```
>> x = [2; 4; 5 ;6 ;9 ;8 ;7; 2 ;12 ;13; 14 ;2; 12; 7; 2; 14]
```

3.1 Respostas do Algoritmo FFT Radix-2 DIT Implementado

3.2 Respostas do Algoritmo FFT Nativo do Matlab

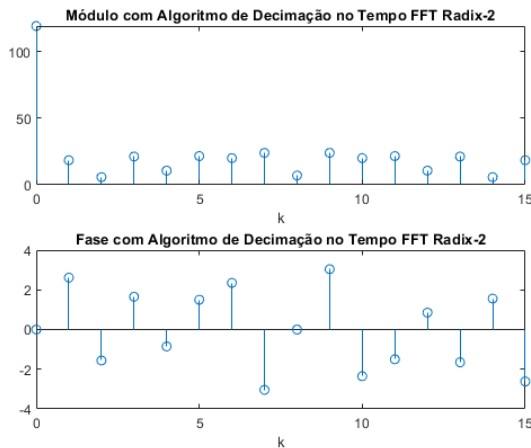


Figura 2: Módulo e Fase do sinal utilizando o Radix-2
Fonte: *Software Matlab*

```
>> fftR2dit(x)
Elapsed time is 0.013817 seconds.
>> fftR2dit(x)
Elapsed time is 0.010945 seconds.
>> fftR2dit(x)
Elapsed time is 0.001077 seconds.
>> fftR2dit(x)
Elapsed time is 0.001469 seconds.
>> fftR2dit(x)
Elapsed time is 0.001068 seconds.
```

Figura 3: Algumas respostas de tempo do Algoritmo FFT Radix-2 Implementado
Fonte: *Software Matlab*

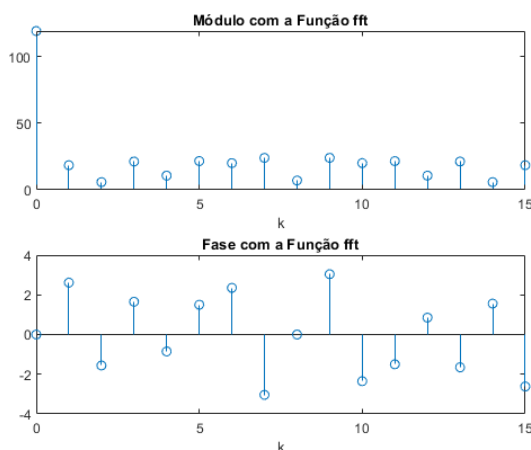


Figura 4: Módulo e Fase do sinal utilizando a fft do Matlab
Fonte: *Software Matlab*

4 Conclusão

A realização deste trabalho e pesquisa, proporcionou primeiro entendermos a construção da base dos algoritmos conhecidos como Transformada Rápida de Fourier

```
>> fft_func(x)
Elapsed time is 0.000154 seconds.
>> fft_func(x)
Elapsed time is 0.000142 seconds.
>> fft_func(x)
Elapsed time is 0.000087 seconds.
>> fft_func(x)
Elapsed time is 0.000085 seconds.
>> fft_func(x)
Elapsed time is 0.000090 seconds.
```

Figura 5: Algumas Respostas de tempo do fft do Matlab
Fonte: *Software Matlab*

(FFT), partindo desde a sua formalização matemática até a aplicação prática, existem vários algoritmos mas alguns se destacam como o Radix-2 analisado.

Possibilitou também visualizarmos a sua eficiência diante de qualquer método direto de DFT, afinal a complexidade que era em torno de N^2 multiplicações complexas limitando rigidamente o uso prático de sinais longos, foi reduzida consideravelmente para $N \log_2 N$. Nessa mesma linha observamos a superioridade do algoritmo FFT nativo do Matlab sobre o desenvolvido, a maior rapidez de milissegundos observada nos resultados resulta uma enorme diferença na otimização de velocidade de grandes processamentos.

Finalizando, graças ao algoritmo eficiente desenvolvido em 1965 por Cooley Tukey os sinais analógicos puderam ser trazidos para o mundo digital com mais facilidade e possibilitaram centenas de novas formas de manipulações e aplicações dos mesmos no meio computacional, assim como o transistor foi pro mundo analógico, o algoritmo da FFT é provavelmente uma das, senão a mais importante invenção do mundo digital.

Referências

- DINIZ, P. S.; SILVA, E. A. da; NETTO, S. L. **Processamento Digital de Sinais:- Projeto e Análise de Sistemas**. [S.l.]: Bookman Editora, 2014.
- OPPENHEIM, A.; SCHAFER, R. **Discrete-Time Signal Processing, Third Edition**. [S.l.]: Prentice Hall, 2010.
- OPPENHEIM, A. V.; SCHAFER, R. W. **Digital Signal Processing:(by) Alan V. Oppenheim (and) Ronald W. Schaffer**. [S.l.]: Prentice-Hall, 1975.